

التوصية ITU-R P.2170-0

(2025/09)

السلسلة P: انتشار الموجات الراديوية

**أساليب ونماذج التنبؤ بخصائص انتشار الموجات
الراديوية على القمر**



تمهيد

يضطلع قطاع الاتصالات الراديوية بدور يتمثل في تأمين الترشيد والإنصاف والفعالية والاقتصاد في استعمال طيف الترددات الراديوية في جميع خدمات الاتصالات الراديوية، بما فيها الخدمات الساتلية، وإجراء دراسات دون تحديد مدى الترددات، تكون أساساً لإعداد التوصيات واعتمادها.

ويؤدي قطاع الاتصالات الراديوية وظائفه التنظيمية والسياسية من خلال المؤتمرات العالمية والإقليمية للاتصالات الراديوية وجمعيات الاتصالات الراديوية بمساعدة لجان الدراسات.

سياسة قطاع الاتصالات الراديوية بشأن حقوق الملكية الفكرية (IPR)

يرد وصف للسياسة التي يتبعها قطاع الاتصالات الراديوية فيما يتعلق بحقوق الملكية الفكرية في سياسة البراءات المشتركة بين قطاع تقدير الاتصالات وقطاع الاتصالات الراديوية والمنظمة الدولية للتوكيد القياسي واللجنة الكهربائية الدولية (ITU-T/ITU-R/ISO/IEC) والمشار إليها في القرار 1. وترت الاستثمارات التي ينبغي لحاملي البراءات استعمالها لتقديم بيان عن البراءات أو للتصريح عن منح رخص في الموقع الإلكتروني حيث يمكن أيضاً الاطلاع على المبادئ التوجيهية الخاصة بتطبيق سياسة البراءات المشتركة وعلى قاعدة بيانات قطاع الاتصالات الراديوية التي تتضمن معلومات عن البراءات.

سلال توقيف قطاع الاتصالات الراديوية

(<https://www.itu.int/publ/R-REC/ar>)

العنوان

السلسلة

البث الساتلي	BO
التسجيل من أجل الإنتاج والأرشفة والعرض؛ الأفلام التلفزيونية	BR
الخدمة الإذاعية (الصوتية)	BS
الخدمة الإذاعية (التلفزيونية)	BT
الخدمة الثابتة	F
الخدمة المتنقلة وخدمة التحديد الراديوى للموقع وخدمة الهواة والخدمات الساتلية ذات الصلة	M
انتشار الموجات الراديوية	
علم الفلك الراديوى	RA
أنظمة الاستشعار عن بعد	RS
الخدمة الثابتة الساتلية	S
التطبيقات الفضائية والأرصاد الجوية	SA
تقاسم الترددات والتنسيق بين أنظمة الخدمة الثابتة الساتلية والخدمة الثابتة	SF
إدارة الطيف	SM
التجميع الساتلي للأخبار	SNG
إرسالات الترددات المعيارية وإشارات التوقيت	TF
المفردات والمواقع ذات الصلة	V

ملاحظة: تمت الموافقة على النسخة الإنكليزية لمنه النوصية الصادرة عن قطاع الاتصالات الراديوية بموجب الإجراء الموضح في القرار 1 ITU-R.

التوصية 0-2170-R ITU

أساليب ونماذج التنبؤ بخصائص انتشار الموجات الراديوية على القمر

المسألة 237/3 ITU-R

(2025)

مجال التطبيق

تخدم هذه التوصية طائقاً للتتبُّؤ بالتوهين بالنسبة إلى الفضاء الحر¹ وغيرها من خصائص انتشار الموجات الراديوية الموصوفة في الجزاين C وD من الملحق، واللزامية لتخطيط الشبكات والأنظمة العاملة على سطح القمر أو بالقرب منه في مدى الترددات من 1 MHz إلى 2 GHz 37.

مصطلحات أساسية

الغلاف الجوي، الحطام الصخري، الكتلة الصخرية الصلبة، النموذج القمري غير المنتظم (ILM)

الاختصارات / الأسماء المختصرة / المسار

خط البصر (line-of-sight) LoS

توصيات قطاع الاتصالات الراديوية ذات الصلة

التوصية ITU-R P.341 - مفهوم خسارة الإرسال للوصلات الراديوية

التوصية ITU-R P.525 - حساب التوهين في الفضاء الحر

التوصية ITU-R P.618 - بيانات الانتشار وطائق التنبؤ المطلوبة لتصميم أنظمة الاتصالات أرض-فضاء ملاحظة - ينبغي استخدام أحدث طبعة من التوصية السارية.

إن جمعية الاتصالات الراديوية للاتحاد الدولي للاتصالات،

إذ تضع في اعتبارها

(أ) أن تفاعل البيئة القمرية مع الموجات الراديوية يشمل الغلاف الجوي القمري والحطام الصخري والكتلة الصخرية الصلبة؛

(ب) أن الغلاف الجوي القمري يمكن اعتباره فضاءً حرّاً عند ترددات فوق تردد بلازما الغلاف الجوي، أي 220 kHz كحد أقصى تقريباً عند سطح القمر؛

(ج) أن خصائص السماحية النسبية المعقدة للحطام الصخري القمري والكتلة الصخرية الصلبة القمرية ضرورية من أجل تحديد خصائص العديد من آليات انتشار الموجات الراديوية في البيئة القمرية؛

(د) أن انتشار الموجات الراديوية في البيئة القمرية ضروري لتحديد خصائص العديد من آليات انتشار الموجات الراديوية، بما في ذلك الانعراج والانعكاس والتشتت؛

¹ خسارة الإرسال الأساسي المعروفة في الفقرة 2.1 من التوصية ITU-R P.341 هي مجموع: أ) التوهين بالنسبة إلى الفضاء الحر في هذه التوصية، ب) خسارة الإرسال الأساسي في الفضاء الحر المعروفة في التوصية ITU-R P.525.

² انظر الفقرتين C.5.1 وC.6.1.

- هـ) أن انتشار الموجات الراديوية في البيئة القمرية يمكن وصفها بإحصاءات التوهين بالنسبة إلى الفضاء الحر؛
وـ) أن خصائص انتشار الأنظمة القمرية من نقطة إلى منطقة ومن منطقة إلى نقطة هي عناصر ضرورية للتبؤ بانتشار الموجات الراديوية في البيئة القمرية،

توضي

بالنظر في الملحق بهذه التوصية من أجل التنبؤ بإحصاءات التوهين بالنسبة إلى الفضاء الحر للأنظمة من نقطة إلى منطقة ومن منطقة إلى نقطة العاملة على سطح القمر أو بالقرب منه في مدى الترددات من 1 MHz إلى $^{3} \text{GHz}$.

الملحق

جدول المحتويات

الصفحة

الجزء A - النموذج القمري غير المنتظم (ILM): أسلوب من نقطة إلى منطقة.....	4
مقدمة.....	4
الدالات Gx , Kg , $C1K$ و BK , Fx , Kx و $C1K$	12
الجزء B - النموذج القمري غير المنتظم (ILM): أسلوب من نقطة إلى نقطة.....	13
مقدمة.....	13
الدالات Gx , Kg , $C1K$ و BK , Fx , Kx و $C1K$	20
الجزء C - الخصائص الكهربائية لسطح القمر.....	22
السماحية النسبية المعقدة للحطام الصخري.....	22
السماحية النسبية المعقدة لصخر القمر.....	27
النفاذية النسبية المعقدة لصخر القمر	27
السماحية النسبية المعقدة للحطام الصخري وخلط الصخور.....	27
الجزء D - التنبؤ بخسائر الانتشار الأخرى.....	28
خسارة الانتشار في الفضاء الحر.....	28
خسارة الانتشار في ضوء الغلاف الجوي للأرض.....	28

مقدمة

يقسم هذا الملحق إلى الأجزاء الأربع التالية:

- الجزء A: النموذج القمري غير المنتظم (ILM): أسلوب من نقطة إلى منطقة
- الجزء B: النموذج القمري غير المنتظم (ILM): أسلوب من نقطة إلى منطقة
- الجزء C: الخصائص الكهربائية لسطح القمر
- الجزء D: التنبؤ بخسارة الانتشار في الفضاء الحر

ويتبأ النموذج القمري غير المنتظم بالتهين المتوسط والإحصائي للوصلات من نقطة إلى منطقة ومن نقطة إلى نقطة على سطح القمر أو بالقرب منه. كما تتبأ طريقة التنبؤ "بالأسلوب من نقطة إلى منطقة" بالتهين على المسير بين المرسل والمستقبل فوق منطقة محددة باستخدام خصائص إحصائية أو عامة للتضاريس. وتتبأ طريقة التنبؤ "بالأسلوب من نقطة إلى نقطة" بالتهين على المسير بين موقع محددة للمرسل والمستقبل باستخدام بيانات وخصائص مفصلة ومحددة بشأن التضاريس. وفي الحالتين، يفترض أن يكون هوائي الإرسال والاستقبال هوائيين متباينين دون خسارة مستقطبة خطياً (افقياً أو رأسياً)، ويفترض أن يكون هوائي الاستقبال متوفقاً مع استقطاب الإشارة الواردة. وتبعاً لفتحة حزمة الهوائي ومسافتها، قد لا يقع توهين الأنظمة المزودة بهوائيات ضيقة الحزمة ضمن نطاق هذه التوصية. ولا يدخل توهين الأنظمة المزودة بهوائيات مستقطبة دائرياً في نطاق هذه التوصية.

وتحسب المعادلة (a-18) متوسط التوهين على المسير للأسلوب من نقطة إلى منطقة على أنه دالة لمسافة، وتحسب المعادلة (b-16) متوسط التوهين على المسير للأسلوب من نقطة إلى نقطة على أنه دالة لمسافة.

ويُحسب التوهين بالنسبة إلى الفضاء الحر الذي لا يتخلى الجزء من المساحة المعنية في الأسلوب من نقطة إلى منطقة في الفقرة 7.1.A، ويُحسب التوهين بالنسبة إلى الفضاء الحر الذي لا يتخلى جزء المظهر الجانبي المكافئ للتضاريس في الأسلوب من نقطة إلى نقطة في الفقرة 7.1.B. والدالة $A_{ref}(p)$ في الوظيفة الرئيسية التي تتبأ بتهين الفضاء الحر. ويشير إلى دلالات أخرى، مثل (s) ، $A_{diff}(s)$ ، مع متغير من s بواسطة المتغير المناسب $A_{ref}(p)$.

وتحدد الفقرة 1. خسارة الانتشار بين: أ) أنظمة على سطح القمر أو بالقرب منه وأنظمة في مدار القمر، ب) أنظمة على سطح القمر أو بالقرب منه وأنظمة تدور حول الأرض، حيث لا يوجد عائق على مسیر خط البصر ولا توجد انعکاسات على سطح الأرض.

الجزء A

النموذج القمري غير المنتظم (ILM): أسلوب من نقطة إلى منطقة**مقدمة 1.A**

الأسلوب من نقطة إلى منطقة للنموذج القمري غير المنتظم (ILM) هو طريقة تتبُّع بالانتشار الراديوي للأغراض العامة يتَّوَقَّع $A_{ref}(p)$ توهين الفضاء الحر الذي لا يتجاوز بالنسبة للجزء من المنطقة المعنية، ($1 < p < 0$)، من أجل الأنظمة الراديوية القمرية في التردد الذي يتراوح بين 20 MHz و 37 GHz.

ويبيَّن الجدول 1 معلمات المدخلات الخاصة بأسلوب من نقطة إلى منطقة للنموذج القمري غير المنتظم.

الجدول 1

معلمات مدخلات النموذج القمري غير المنتظم في الأسلوب من نقطة إلى منطقة

f (MHz)	
d	المسافة الأفقية للسطح السلس بين المطارات (m)؛ $500 \text{ km} > d > 0.5 \text{ km}$
p	جزء من الواقع ($1 < p < 0$)
h_{g_1}, h_{g_2}	ارتفاعات الميكلية لهوائي المطارات (أي المركز الكهربائي) فوق كرة نصف قطرها 1 737 400 m، حيث تكون زاوية الارتفاع من الهوائي إلى الأفق $> 200 \text{ mrad}$ 3 km
Δh	عدم انتظام التضاريس الأرضية (m)
Z_g	معاوقة النقل السطحي لسطح القمر (الحطام الصخري)
Ψ_i	زاوية الارتفاع من مطراف إلى مطراف
T_{pol}	استقطاب الإرسال (الأفقي أو الرأسي مثلاً)

يُحسب العدد الموجي، k ، انطلاقاً من التردد، f ، على النحو التالي:

$$(a-1) \quad k = \frac{2\pi}{\lambda} = \frac{2\pi f}{c} (\text{m}^{-1})$$

عندما تكون سرعة الضوء في الفراغ، $c = 299 792 458 \text{ m/s}$. وبما أن وحدات التردد، f ، هي MHz، فإن العدد الموجي، k ، هو:

$$(a-2) \quad k = \frac{f}{f_0} (\text{m}^{-1})$$

حيث $f_0 = 47.713 451 59 \text{ MHz-m}$.

ويبلغ نصف القطر المادي للقمر، a_e ، $1 737 400 \text{ m}$ ، ويبلغ الانحناء الفعلي للقمر، γ_e ، $\frac{1}{a_e} \cdot \text{m}^{-1}$.

ومعاوقة النقل السطحي لسطح القمر (الحطام الصخري)، Z_g ، هي ثابت معقد بدون أبعاد يعتمد على السماحية النسبية لسطح القمر، $\epsilon' = \epsilon_r + \epsilon_i$. وينبغي حساب السماحية النسبية على أنها قيمة تمثيلية تراعي المظهر الجانبي للمسير. وفي غياب قيمة تمثيلية، ينبغي استعمال القيمة عند منتصف المسير. وإذا كان المحتوى المعدي المحلي لثاني أكسيد التيتانيوم (TiO_2) وأكسيد الحديد (FeO) معروفاً، يمكن استعمال طريقة التنبؤ الواردة في الجزء C. وفي غياب بيانات محلية، يمكن افتراض أن الجزء الحقيقي من السماحية النسبية لسطح، ϵ' ، يساوي 2,0. ويمكن افتراض أن الجزء الحقيقي من السماحية النسبية للغلاف الجوي للقمر، ϵ' ، يساوي 1,0 للترددات الواقعة ضمن مدى هذا النموذج.

واستقطاب متوجه المجال الكهربائي للإشارة الراديوية، T_{pol} (أي أفقي يُعرَّف بأنه متعادم على مستوى الورود عند نقطة الانعكاس الأرضي، أو رأسي، ويُعرَّف بأنه موازٍ لمستوى الورود عند نقطة الانعكاس الأرضي).

وعند زاوية الارتفاع ψ_i ، الاستقطاب p ، يمكن كتابة معادلة نقل سطح الخطام الصخري على النحو التالي:

$$(a-3) \quad Z_g = \begin{cases} \frac{1 - \mathcal{R}_0^p(\psi_i)}{1 + \mathcal{R}_0^p(\psi_i)} \end{cases} \sin \psi_i, \quad T_{pol} = v, h$$

وفيما يتعلق بالخطام الصخري المتجلانس (Ψ_i) $\mathcal{R}_0^{T_{pol}}$ ، يمكن الاستعاضة عن معاملات الانعكاس في المعادلة (a-3) بمعاملات انعكاس فرينل المقابلة على النحو التالي:

$$(a-4) \quad \mathcal{R}_0^{T_{pol}}(\psi_i) = \begin{cases} \frac{\varepsilon_r \sin \psi_i - \sqrt{\varepsilon_r - \cos^2 \psi_i}}{\varepsilon_r \sin \psi_i + \sqrt{\varepsilon_r - \cos^2 \psi_i}}, & T_{pol} = v \\ \frac{\sin \psi_i - \sqrt{\varepsilon_r - \cos^2 \psi_i}}{\sin \psi_i + \sqrt{\varepsilon_r - \cos^2 \psi_i}}, & T_{pol} = h \end{cases}$$

ما يؤدي إلى:

$$(a-5) \quad Z_g = \begin{cases} \frac{\sqrt{\varepsilon_r - \cos^2 \psi_i}}{\varepsilon_r}, & T_{pol} = v \\ \sqrt{\varepsilon_r - \cos^2 \psi_i}, & T_{pol} = h \end{cases}$$

وبالقرب من الورود التماسي، $0_i \sim \Psi_i$ ، يمكن أن يكون Z_g تقريرًا على النحو التالي:

$$(a-6) \quad Z_g = \begin{cases} \frac{\sqrt{\varepsilon_r - 1}}{\varepsilon_r}, & T_{pol} = v \\ \sqrt{\varepsilon_r - 1}, & T_{pol} = h \end{cases}$$

وهناك حالتان لموقع المطارات: 1) المطارات المتنقلة، 2) المطارات الثابتة.

وإذا كانت طوبوغرافيا التضاريس القمرية المحلية معروفة، يمكن تحديد معلمة عدم انتظام التضاريس، Δh ، لمجموعة من المسيرات التمثيلية بين هوائي الإرسال وهوائيات الاستقبال التمثيلية، على النحو التالي.

لكل مسیر تمثيلي:

(1) بالنسبة لمسير خط البصر، تحدد $d_{tx,horizon}$ (m) المسافة من المركز الكهربائي هوائي الإرسال إلى الأفق المحدد بخط البصر من المركز الكهربائي هوائي الإرسال إلى المركز الكهربائي هوائي الاستقبال؛ وبالنسبة لمسير خارج خط البصر، تحدد المسافة $d_{tx,horizon}$ (m) المسافة من المركز الكهربائي هوائي الإرسال إلى الأفق المحدد بتقاطع أ) خط البصر من المركز الكهربائي هوائي الإرسال إلى المركز الكهربائي هوائي الاستقبال، ب) العائق المتدخل؛

(2) بالنسبة لمسير خط البصر، تحدد $d_{tx,horizon}$ (m) المسافة من المركز الكهربائي هوائي الاستقبال إلى الأفق المحدد بخط البصر من المركز الكهربائي هوائي الاستقبال إلى المركز الكهربائي هوائي الإرسال؛ وبالنسبة لمسير خارج خط البصر، تحدد المسافة $d_{tx,horizon}$ (m) من المركز الكهربائي هوائي الاستقبال إلى الأفق المحدد بتقاطع أ) خط البصر من المركز الكهربائي هوائي الاستقبال إلى المركز الكهربائي هوائي الإرسال، ب) العائق المتدخل؛

(3) تحديد ارتفاع سطح القمر بالنسبة إلى كرة نصف قطرها 1737400 m عند مجموعة من النقاط المتساوية من حيث المسافة الفاصلة بينها على سطح القمر على طول المسير من هوائي الإرسال إلى هوائي الاستقبال، باستثناء منطقة نصف قطرها $\min(15 h_{g_1}, 0.1 d_{tx,horizon})$ m حول هوائي الإرسال ومنطقة نصف قطرها $\min(15 h_{g_2}, 0.1 d_{rx,horizon})$ m حول هوائي الاستقبال؛

$$(4) \quad \text{حسب } d_x = d - \min(15 h_{g_1}, 0.1 d_{tx,horizon}) - \min(15 h_{g_2}, 0.1 d_{rx,horizon})$$

(5) إجراء مطابقة خطية للربعات الصغرى لمجموعة النقاط المتساوية الفاصلة بينها على طول مسیر الطول d_x ؛

(6) حساب الفروق المتبقية بين مجموعة النقاط المتساوية المسافة الفاصلة بينها على طول مسیر الطول d_x وخط الربعات الصغرى؛

(7) فرز مجموعة الفروق المتبقية بترتيب تصاعدي أو تنازلي؛

حذف أعلى 10% وأدنى 10% من مجموعة الاختلافات المصنفة؛ (8)

(9) $\Delta h(d_x)$ يساوي الفرق بين القيمتين القصوى والدنى للفروق المتبقية المصنفة؛

$$(m) \Delta h = \frac{\Delta h(d_x)}{\left(1 - 0.8 e^{-\frac{d_x}{5 \times 10^4}}\right)} \quad (10)$$

والشبكة Δh هي متوسط Δh لمجموعة المسيرات التمثيلية.

وفي غياب بيانات طوبوغرافية قمرية محلية، يمكن افتراض قيمة مقترنة من الجدول 2.

الجدول 2

القيم المقترنة لمعلمة عدم انتظام التضاريس القمرية، Δh (m)

(m) Δh	سطح القمر
1 500–0	سلس
3 500–1 500	متوسط مجال الحفرة
5 000–3 500	أكبر مجال الحفرة
5 000 <	مجال الحفرة الأشد وعورة
لسطح قمري متوسط، استخدم $\Delta h = 3 000$ m	

1.1.A الحسابات التحضيرية

تعريف مطراً الإرسال على أنه $1 = j$ ومطراً الاستقبال على أنه $2 = j$. وإذا كان المطراً مطراً متناولاً عندئذ:

$$(a-7) \quad h_{ej} = h_{gj} \text{ (m)} \quad \text{for } j = 1, 2$$

وإذا كان المطراً مطراً ثابتاً:

$$(a-8) \quad B_j = 10 \text{ (m)} \quad \text{for } j = 1, 2$$

وفي هذه الحالة،

$$(a-9) \quad B'_j = (B_j - 1) \sin\left(\frac{\pi}{2} \min\left(\frac{h_{gj}}{5}, 1\right)\right) + 1$$

إذا $h_{gj} \geq 5$ m. وعندئذ يكون الارتفاع الفعلي للمطراً j ، h_{ej} ($j = 1$ or 2)، على النحو التالي:

$$(a-10) \quad h_{ej} = h_{gj} + B'_j e^{-\frac{2h_{gj}}{\Delta h}} \quad \text{for } j = 1, 2$$

حساب مسافات الأفق القمرى السلس، d_{lsj} :

$$(a-11) \quad d_{lsj} = \sqrt{2h_{ej}a_e} \quad \text{for } j = 1, 2 \text{ (m)}$$

وعندئذ، تكون مسافات الأفق الراديوى للمطرايف، d_{lj} ، وزوايا الارتفاع، θ_{ej}^4 ، على النحو التالي:

$$(a-12) \quad d_{lj} = d_{lsj} e^{-0.07 \sqrt{\frac{\Delta h}{\max(h_{ej}, 5)}}} \quad \text{for } j = 1, 2 \text{ (m)}$$

⁴ وحدات الزوايا، θ ، في هذا الجزء هي الرadian.

$$(a-13) \quad \theta_{ej} = -\frac{[2h_{ej} + 0.65\Delta h(d_{lsj}/d_{lj}-1)]}{d_{lsj}} \quad \text{for } j = 1, 2$$

وتكون حينها مسافة الأفق الراديوى القمرى السلس المجمع، d_{ls} ، ومسافة الأفق الراديوى المجمع غير المنتظم للتضاريس الأرضية، d_l ، وزوايا ارتفاع الأفق الراديوى المجمع غير المنتظم للتضاريس الأرضية، θ_e ، هي:

$$(a-14) \quad d_{ls} = d_{ls1} + d_{ls2}$$

$$(a-15) \quad d_l = d_{l1} + d_{l2}$$

$$(a-16) \quad \Theta_e = \max(\theta_{e1} + \theta_{e2}, -d_l \gamma_e)$$

و $\Delta h(s)$ هي دالة لمسافة، s ، هي:

$$(a-17) \quad \Delta h(s) = \Delta h \left(1 - 0.8 e^{-\frac{s}{5 \times 10^4}} \right) \quad (\text{m})$$

2.1.A التوهين المرجعي

التوهين المرجعي، A_{ref} ، هو التوهين المتوسط المتباين به بالنسبة إلى الفضاء الحر والذي يمكن ملاحظته على مسارات مماثلة. هي الدالة الجزاية التالية لمسافة المسير الأفقية، d :

$$(a-18) \quad A_{ref}(d) = \begin{cases} \max \left[0, A_{el} + K_1 d + K_2 \ln \left(\frac{d}{d_{ls}} \right) \right] & \text{for } d \leq d_{ls} \\ A_{ed} + m_d d & \text{for } d > d_{ls} \end{cases} \quad (\text{dB})$$

حيث يرد تعريف A_{el} في المعادلة (a-25)، ويعرف A_{ed} في المعادلة (a-26)، وتحسب المعاملات K_1 و K_2 و m_d في الأقسام التالية. ويعُرف المدى $d \leq d_{ls}$ بأنه مدى خط البصر، ويعُرف المدى $d \geq d_{ls}$ بأنه مدى الانتعاج. والرجاء ملاحظة أن A_{ref} يستمر عند $d = d_{ls}$.

3.1.A معاملات مدى الانتعاج

تحسب معاملات مدى الانتعاج بتقييم توهين الانتعاج، $(A_{diff}(d))$ ، عند مسافتين، d_3 و d_4 ، الخارجتين عن خط البصر. تُحسب:

$$(a-19) \quad d_3 = \max(d_{ls}, d_l + 1.3787X_{ae})$$

$$(a-20) \quad d_4 = d_3 + 2.7574X_{ae}$$

$$(a-21) \quad A_3 = A_{diff}(d_3)$$

$$(a-22) \quad A_4 = A_{diff}(d_4)$$

حيث:

$$(a-23) \quad X_{ae} = (k\gamma_e^2)^{-\frac{1}{3}} = a_e \left(\frac{2\pi a_e}{\lambda} \right)^{-\frac{1}{3}}$$

ويعُرف الدالة A_{diff} بالمعادلة (a-26).

والمعلوماتان A_{ed} و m_d هما:

$$(a-24) \quad m_d = \frac{A_4 - A_3}{d_4 - d_3} \quad \left(\frac{\text{dB}}{\text{m}} \right)$$

$$(a-25) \quad A_{ed} = A_3 - m_d d_3 = \frac{A_3 d_4 - A_4 d_3}{d_4 - d_3} \quad (\text{dB})$$

4.1.A دالة توهين الانعراج

دالة توهين الانعراج، $A_{diff}(s)$ ، هي توليفة مرجحة من توهين "بحافتين كحد السكين"، $(A_k(s))$ ، وتهين الانعراج "القمرى المستدير"، $(A_r(s))$

$$(a-26) \quad A_{diff}(s) = (1 - w(s))A_k(s) + w(s)A_r(s) \quad (\text{dB})$$

$A_k(s)$ يُعرَّف في المعادلة (a-29)، و $A_r(s)$ يُعرَّف في المعادلة (a-41)، و $w(s)$ ، العامل المرجح، على النحو التالي:

$$(a-27) \quad w(s) = \frac{1}{1+0.1\sqrt{Q(s)}}$$

حيث:

$$(a-28) \quad Q(s) = \min\left(\frac{\Delta h(s)}{\lambda}, 1000\right) \left[\sqrt{\frac{h_{e_1}h_{e_2}+C}{h_{g_1}h_{g_2}+C}} + \frac{d_l+a_e\theta_e}{s} \right]$$

. $C = 0$

ومتوسط توهين الانعراج "بحافتين كحد السكين" للأقماريين الراديوبيين القمريين غير المتناظرين، $(A_k(s))$ ، هو:

$$(a-29) \quad A_k(s) = Fn(v_1(s)) + Fn(v_2(s)) \quad (\text{dB})$$

حيث:

$$(a-30) \quad Fn(z) = -20 \log_{10} \left(\left| \frac{1}{\sqrt{2i}} \int_z^\infty e^{i\frac{\pi}{2}u^2} du \right| \right)$$

$$(a-31) \quad = -20 \log_{10} \left(\left| \frac{1+i}{2\sqrt{2i}} \operatorname{erfc} \left(\frac{\sqrt{\pi}}{2}(1-i)z \right) \right| \right)$$

$$(a-32) \quad = -20 \log_{10} \left(\left| \frac{1+i}{\sqrt{2i}} Q \left(\sqrt{\frac{\pi}{2}}(1-i)z \right) \right| \right)$$

$$(a-33) \quad v_j(s) = \frac{\theta(s)}{2} \sqrt{\frac{2d_{l_j}(s-d_l)}{\lambda(s-d_l+d_{l_j})}} \quad \text{for } j = 1, 2$$

و:

$$(a-34) \quad \theta(s) = \theta_e + s\gamma_e$$

ويستند توهين الانعراج "القمرى المستدير" إلى طريقة "ثلاثة أنصاف قطر" المطبقة حل مشكلة الانعراج الكروي السلس. وتحسب γ_0 ، γ_1 ، γ_2 على النحو التالي:

$$(a-35) \quad \Gamma_0 = \frac{\theta(s)}{s-d_l}$$

$$(a-36) \quad \Gamma_j = \frac{2h_{ej}}{d_{l_j}^2} \quad \text{for } j = 1, 2$$

وتوضع القيم:

$$(a-37) \quad A_j = \left(\frac{k}{\gamma_j} \right)^{\frac{1}{3}} \quad \text{for } j = 0, 1, 2$$

و:

$$(a-38) \quad K_j = \frac{1}{i\alpha_j Z_g} \quad \text{for } j = 0, 1, 2$$

وُتعرَّف المسافات بدون أبعاد:

$$(a-39) \quad x_0 = AB(K_0) \alpha_0 \theta(s) + x_1 + x_2$$

: و

$$(a-40) \quad x_j = AB(K_j) \alpha_j \gamma_j d_{lj} \quad \text{for } j = 1, 2$$

حيث $A = 63.798$. والرجاء ملاحظة أن x_0 لا يعتمد إلا على s . وتهين الانعراج "القمرى المستدير" ، (s) هو:

$$(a-41) \quad A_r(s) = G(x_0) - F(x_1, K_1) - F(x_2, K_2) - C_1(K_0)$$

حيث تعرَّف الدلالات $G(x)$ و $F(x, K)$ و $C_1(K)$ في الفقرة 2.A.

5.1.A معاملات مدى خط البصر

توضيع القيم:

$$(a-42) \quad d_2 = d_{ls}$$

: و

$$(a-43) \quad A_2 = A_{ed} + m_d d_2 \quad (\text{dB})$$

وهناك حالتان عامتان، تبعاً للعلامة A_{ed} .

الحالة 1: إذا كانت $A_{ed} \geq 0$ ، توضع القيم:

$$(a-44) \quad d_0 = \min\left(\frac{d_l}{2}, 1.908k h_{e1} h_{e2}\right)$$

$$(a-45) \quad d_1 = \frac{3}{4}d_0 + \frac{d_l}{4}$$

$$(a-46) \quad A_0 = A_{los}(d_0) \quad (\text{dB})$$

$$(a-47) \quad A_1 = A_{los}(d_1) \quad (\text{dB})$$

تحسب:

$$(a-48) \quad K'_2 = \max\left(0, \frac{(A_1 - A_0)(d_2 - d_0) - (A_2 - A_0)(d_1 - d_0)}{(d_2 - d_0) \ln\left(\frac{d_1}{d_0}\right) - (d_1 - d_0) \ln\left(\frac{d_2}{d_0}\right)}\right)$$

: و

$$(a-49) \quad K'_1 = \frac{A_2 - A_0 - K'_2 \ln\left(\frac{d_2}{d_0}\right)}{d_2 - d_0}$$

إذا كانت $K'_1 \geq 0$ ، توضع القيم:

$$(a-50) \quad K_1 = K'_1$$

$$(a-51) \quad K_2 = K'_2$$

ومع ذلك، إذا كانت $K'_1 < 0$ ، توضع القيم:

$$(a-52) \quad K''_2 = \frac{A_2 - A_0}{\ln\left(\frac{d_2}{d_0}\right)}$$

إذا كانت $K''_2 \geq 0$ ، توضع القيم:

$$(a-53) \quad K_1 = 0$$

$$(a-54) \quad K_2 = K''_2$$

ومع ذلك، إذا كانت $K_2'' < 0$ ، توضع القيم:

$$(a-55) \quad K_1 = m_d$$

$$(a-56) \quad K_2 = 0$$

الحالة 2: إذا كانت $A_{ed} < 0$ ، توضع القيم:

$$(a-57) \quad d_0 = 1.908kh_{e_1}h_{e_2}$$

$$(a-58) \quad d_1 = \max\left(-\frac{A_{ed}}{m_d}, \frac{d_l}{4}\right)$$

إذا كانت $d_0 < d_1$ ، توضع القيم:

$$(a-59) \quad A_0 = A_{los}(d_0) \quad (\text{dB})$$

$$(a-60) \quad A_1 = A_{los}(d_1) \quad (\text{dB})$$

: و

$$(a-61) \quad K_2' = \max\left(0, \frac{(A_1 - A_0)(d_2 - d_0) - (A_2 - A_0)(d_1 - d_0)}{(d_2 - d_0) \ln\left(\frac{d_1}{d_0}\right) - (d_1 - d_0) \ln\left(\frac{d_2}{d_0}\right)}\right)$$

إذا كانت $K_2' \neq 0$ ، حسب:

$$(a-62) \quad K_1' = \frac{A_2 - A_0 - K_2' \ln\left(\frac{d_2}{d_0}\right)}{d_2 - d_0}$$

إذا كانت $K_1' \geq 0$ ، توضع القيم:

$$(a-63) \quad K_1 = K_1'$$

$$(a-64) \quad K_2 = K_2'$$

إذا كانت $K_1' < 0$ ، توضع القيم:

$$(a-65) \quad K_2'' = \frac{A_2 - A_0}{\ln\left(\frac{d_2}{d_0}\right)}$$

وإذا كانت $K_2'' \geq 0$ ، فإن:

$$(a-66) \quad K_1 = 0$$

$$(a-67) \quad K_2 = K_2''$$

وإذا كانت $K_2'' < 0$ ، فإن:

$$(a-68) \quad K_1 = m_d$$

$$(a-69) \quad K_2 = 0$$

وإذا كانت $K_2' = 0$ أو $d_0 \geq d_1$ ، فإن:

$$(a-70) \quad A_1 = A_{los}(d_1) \quad (\text{dB})$$

$$(a-71) \quad K_1'' = \frac{A_2 - A_1}{d_2 - d_1}$$

وإذا كانت $K_1'' > 0$ ، فإن:

$$(a-72) \quad K_1 = K_1''$$

$$(a-73) \quad K_2 = 0$$

وبخلاف ذلك، توضع القيم:

$$(a-74) \quad K_1 = m_d$$

(a-75) $K2=0$

أخيراً، توضع القيم:

$$(a-76) \quad A_{el} = A_2 - K_1 d_2 \quad (\text{dB})$$

6.1.A دالة توهين مدى خط البصر

دالة التوهين في مدى خط البصر، ($A_{los}(s)$)، هي التوليفة المرجحة لتهين "مدى الانتعاج المستكمل خارجياً/الموسع"، ($A_d(s)$)، والتوهين ذو "الشعاعين"، ($A_t(s)$):

$$(a-77) \quad A_{los}(s) = (1 - w)A_d(s) + wA_t(s) \quad (\text{dB})$$

$A_d(s)$ يُعرف في المعادلة (a-79)، و $(s) A_t$ يُعرف في المعادلة (a-86)، ويُعرف العامل المرجع، w ، على النحو التالي:

$$(a-78) \quad w = \frac{1}{1 + \frac{D_1 k \Delta h}{\max(D_2, d_{ls})}}$$

حيث $D_1 = 47.7$ و $D_2 = 10 \text{ km}$. ويكون توهين "مدى الانعراج الموسع" على النحو التالي:

$$(a-79) \quad A_d(s) = A_{ed} + m_d s \quad (\text{dB})$$

بالنسبة للتوهين ذي "الشعاعين"، توضع القيم:

$$(a-80) \quad \sin \psi(s) = \frac{h_{e_1} + h_{e_2}}{\sqrt{s^2 + (h_{e_1} + h_{e_2})^2}}$$

٩:

$$(a-81) \quad R'_e(s) = \frac{\sin \psi(s) - Z_g}{\sin \psi(s) + Z_g} e^{-k\sigma_h(s) \sin \psi(s)}$$

جیٹ:

$$(a-82) \quad \sigma_h(s) = \frac{\Delta h(s)}{1.282} e^{-\frac{\sqrt[4]{\Delta h(s)}}{2}}$$

وتوضع القيم:

$$(a-83) \quad \Delta'(s) = 2 \frac{k h_{e_1} h_{e_2}}{s}$$

ومعامل الانعکاس الفعال، ($R_e(s)$)، هو:

$$(a-84) \quad R_e(s) = \begin{cases} R'_e(s) & \text{for } |R'_e(s)| \geq \max(0.5, \sqrt{\sin \psi(s)}) \\ \frac{R'_e(s)}{|R'_e(s)|} \sqrt{\sin \psi(s)} & \text{otherwise} \end{cases}$$

والاختلاف في الطور، (٥)، هو:

$$(a-85) \quad \Delta(s) = \begin{cases} \delta'(s) & \text{for } \delta'(s) \leq \frac{\pi}{2} \\ \pi - \frac{\left(\frac{\pi}{2}\right)^2}{\delta'(s)} & \text{otherwise} \end{cases}$$

ويكون التوهين ذو "الشعاعين" ، ($A_t(s)$)، عندئذ:

$$(a-86) \quad A_t(s) = -20 \log_{10} |1 + R_e(s)e^{i\delta(s)}| \quad (\text{dB})$$

7.1.A التغير في الموقع

$A_{ref}(p)$ ، يُحسب التوهين بالنسبة إلى الفضاء الحر الذي لا ينطوي الجزء من المنطقة المعنية، ($1 < p < 0$) على النحو التالي:
وتحسب $\Delta h(d)$ و z على النحو التالي، حيث d هو طول المسير الكامل:

$$(a-87) \quad \Delta h(d) = \Delta h \left(1 - 0.8 e^{-\frac{d_x}{5 \times 10^4}} \right)$$

$$(a-88) \quad \Sigma = 10 k \frac{\Delta h(d)}{k \Delta h(d) + 13}$$

$$(a-89) \quad z = Q^{-1}(p)$$

حيث d هو طول المسير الكامل.
وبناء عليه:

$$(a-90) \quad A_{ref}(p) = A_{ref} + \sigma z \quad (\text{dB})$$

الدالات $B(K)$ و $C_1(K)$ و $F(x, K)$ و $G(x)$ 2.A

$$(a-91) \quad F(x, K) = \begin{cases} F_2(x, K) & \text{for } 0 < x \leq 200 \\ G(x) + 0.013x e^{-\frac{x}{200}} [F_1(x) - G(x)] & \text{for } 200 < x < 2000 \\ G(x) & \text{for } x \geq 2000 \end{cases}$$

حيث:

$$(a-92) \quad G(x) = 0.05751 x - 10 \log_{10} x$$

$$(a-93) \quad F_1(x) = 40 \log_{10}(\max(x, 1)) - 117$$

$$(a-94) \quad F_2(x, K) = \begin{cases} F_1(x) & \text{for } |K| < 10^{-5} \text{ or } x (-\log_{10}|K|)^3 > 450 \\ 2.5 x \frac{10^{-5} x^2}{|K|} + 20 \log_{10}(|K|) - 15 & \text{otherwise} \end{cases}$$

$$(a-95) \quad C_1(K) = 20$$

$$(a-96) \quad B(K) = 1.607 - |K|$$

الجزء B

النموذج القمري غير المنتظم (ILM): أسلوب من نقطة إلى نقطة

مقدمة 1.B

الأسلوب من نقطة إلى منطقة للنموذج القمري غير المنتظم هو طريقة تبؤ بانتشار الموجات الراديوية للأغراض العامة يتوقع (p) A_{ref} توهين الفضاء الحر الذي لا يُنطوي بالنسبة لجزء المظهر الجانبي المكافئ للتضاريس، ($1 < p < 0$)، من أجل الأنظمة الراديوية القمرية في التردد الذي يتراوح بين 20 MHz و 37 GHz.

ويبين الجدول 3 معلمات المدخلات الخاصة بأسلوب من نقطة إلى نقطة للنموذج القمري غير المنتظم.

الجدول 3

معلمات مدخلات النموذج القمري غير المنتظم في الأسلوب من نقطة إلى نقطة

التردد (MHz)	f
متوجه المسافات الأفقية المتباينة بانتظام بين مطارات (m)؛ $h_i < 100 < h_e$ المسافة الأدنى/القصوى للسطح السلس بين المطارات؛ $500 \text{ km} > d > 0.1 \text{ km}$ ؛	h_i
جزء من الواقع ($0 < p < 1$)	p
الارتفاعات الاهلكية لهوائي المطارات (أي المركز الكهربائي) فوق كرة نصف قطرها 400 m؛ $0.5 \text{ m} < h_{g_x} < 1\ 737\ 400 \text{ m}$ ؛ حيث تكون زاوية الارتفاع من الهوائي إلى الأفق $> 200 \text{ mrad}$ ؛ 3 km	h_{g_1}, h_{g_2}
ارتفاعات التضاريس القمرية عند المسافات الأفقية المتباينة بانتظام بين المطارات (m)	h_i
مسافة الدائرة العظمى بين مطراف الإرسال ومطراف الاستقبال	d
معاوقة النقل السطحي لسطح القمر (الحاطم الصخري)	Z_g
زاوية الارتفاع من مطراف إلى مطراف	ψ_i
استقطاب الإرسال (الأفقي أو الرأسي مثلاً)	T_{pol}

يُحسب العدد الموجي، k ، انتلاقاً من التردد، f ، على النحو التالي:

$$(b-1) \quad k = \frac{2\pi}{\lambda} = \frac{2\pi f}{c} \quad (\text{m}^{-1})$$

عندما تكون سرعة الضوء في فراغ، $c = 299\ 792\ 458 \text{ m/s}$. وبما أن وحدات التردد، f ، هي MHz، فإن العدد الموجي، k ، هو:

$$(b-2) \quad k = \frac{f}{f_0} \quad (\text{m}^{-1})$$

حيث $f_0 = 47.713\ 451\ 59 \text{ MHz-m}$.

ويبلغ نصف القطر المادي للقمر، a_e ، $1\ 737\ 400 \text{ m}$ ، ويبلغ الانحناء الفعلي للقمر، γ_e ، $\frac{1}{a_e} \cdot \text{m}^{-1}$.

ومعاوقة النقل السطحي لسطح القمر (الحاطم الصخري)، Z_g ، هي ثابت معقد بدون أبعاد يعتمد على السماحة النسبية لسطح القمر، " $i + \epsilon'$ ". وينبغي حساب السماحة النسبية على أنها قيمة تمثيلية تراعي المظهر الجانبي للمسير. وفي غياب قيمة تمثيلية، ينبغي استعمال القيمة عند منتصف المسير. وإذا كان المحتوى المعدي المحلي لثاني أكسيد التيتانيوم (TiO_2) وأكسيد الحديد (FeO) معروفاً، يمكن استعمال طريقة التنبؤ الواردة في الجزء B. وفي غياب بيانات محلية، يمكن افتراض أن الجزء الحقيقي من السماحة النسبية لسطح، " i ", يساوي 2,0. ومع ذلك، يمكن افتراض أن الجزء الحقيقي من السماحة النسبية للغلاف الجوي للقمر، " i ", يساوي 1,0 للترددات الواقعة ضمن مدى هذا النموذج.

واستقطاب متوجه المجال الكهربائي للإشارة الراديوية، T_{pol} ، (أي أفقى يُعرف بأنه متعمد على مستوى الورود عند نقطة الانعكاس الأرضي، أو رأسي، يُعرف بأنه موازٍ لمستوى الورود عند نقطة الانعكاس الأرضي). ومعاومة النقل السطحي لسطح القمر، Z_g ، هي: عند زاوية الارتفاع ψ_i ، الاستقطاب p ، يمكن كتابة معاومة نقل سطح الحطام الصخري على النحو التالي:

$$(b-3) \quad Z_g = \begin{cases} \frac{1 - R_0^p(\psi_i)}{1 + R_0^p(\psi_i)} \end{cases} \sin \psi_i, \quad T_{pol} = v, h$$

وفيما يتعلق بالحطام الصخري المتجانس، يمكن الاستعاضة عن معاملات الانعكاس $R_0^{Tpol}(\psi_i)$ في المعادلة (a-3) بمعاملات انعكاس فرينل المقابلة على النحو التالي:

$$(b-4) \quad R_0^{Tpol}(\psi_i) = \begin{cases} \frac{\epsilon_r \sin \psi_i - \sqrt{\epsilon_r - \cos^2 \psi_i}}{\epsilon_r \sin \psi_i + \sqrt{\epsilon_r - \cos^2 \psi_i}}, & T_{pol} = v \\ \frac{\sin \psi_i - \sqrt{\epsilon_r - \cos^2 \psi_i}}{\sin \psi_i + \sqrt{\epsilon_r - \cos^2 \psi_i}}, & T_{pol} = h \end{cases}$$

ما يؤدي إلى:

$$(b-5) \quad Z_g = \begin{cases} \frac{\sqrt{\epsilon_r - \cos^2 \psi_i}}{\epsilon_r}, & T_{pol} = v \\ \sqrt{\epsilon_r - \cos^2 \psi_i}, & T_{pol} = h \end{cases}$$

وبالقرب من الورود التماسي، $0_i \sim \Psi_i$ ، يمكن أن يكون تقريرياً على النحو التالي:

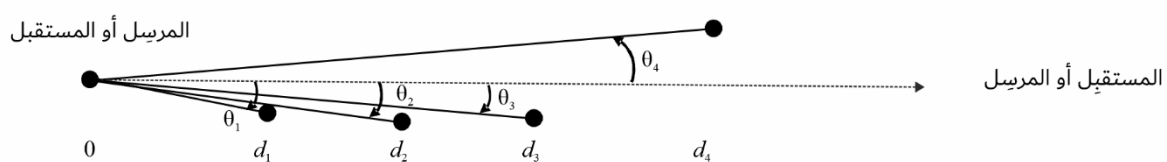
$$(b-6) \quad Z_g = \begin{cases} \frac{\sqrt{\epsilon_r - 1}}{\epsilon_r}, & T_{pol} = v \\ \sqrt{\epsilon_r - 1}, & T_{pol} = h \end{cases}$$

وهناك حالتان لموقع المطارات: 1) المطارات المتنقلة، 2) المطارات الثابتة.

ويمكن تحديد معلمة عدم انتظام التضاريس، Δh ، للمسير بين هوائي الإرسال وهوائي الاستقبال على النحو التالي.

الشكل 1

مثال على المسافات والزوايا الأفقيّة



P.2170-01

لكل مسیر تمثيلي:

(1) بالإشارة إلى الشكل 1، تحدد المسافة d_{l1} (m) و θ_{l1} ⁵، ومسافة الأفق وزاوية الارتفاع عند مطراف الاستقبال المقابلين d_i و θ_i مع القيمة القصوى لـ θ_i عبر جميع النقاط المتساوية التباعد بين المرسل والمستقبل.

(2) بالإشارة إلى الشكل 1، تحدد مسافة d_{l2} (m) و θ_{l2} ، ومسافة الأفق وزاوية الارتفاع عند مطراف الإرسال المقابلين d_i و θ_i بالقيمة القصوى لـ θ_i فوق جميع النقاط المتساوية التباعد بين المستقبل والمرسل.

⁵ وحدات الزوايا، θ ، في هذا الجزء هي الرadian.

تحديد ارتفاع سطح القمر بالنسبة إلى كرة نصف قطرها 1 737 400 m عند مجموعة من النقاط المتساوية من حيث المسافة الفاصلة بينها على سطح القمر على طول المسير من هوائي الإرسال إلى هوائي الاستقبال، باستثناء منطقة نصف قطرها $\min(15 h_{g_1}, 0.1 d_{l1})$ حول هوائي الإرسال و منطقة نصف قطرها $\min(15 h_{g_2}, 0.1 d_{l2})$ حول هوائي الاستقبال؛

$$\text{حسب } d_x = d - d_{l1} - d_{l2} \quad (4)$$

$$(m) \Delta h = \frac{\Delta h(d_x)}{\left(1 - 0.8 e^{-\frac{d_x}{5 \times 10^4}}\right)} \quad (5)$$

1.1.B الحسابات التحضيرية

تعريف مطراف الإرسال على أنه $1 = j$ ومطراف الاستقبال على أنه $2 = j$. وإذا كان المطراف مطراً متناولاً عندئذ:

$$(b-7) \quad h_{ej} = h_{g_j} \text{ (m) for } j = 1, 2$$

وإذا كان المطراف مطراً ثابتاً:

$$(b-8) \quad B_j = 10 \text{ (m) for } j = 1, 2$$

وفي هذه الحالة،

$$(b-9) \quad B'_j = (B_j - 1) \sin\left(\frac{\pi}{2} \min\left(\frac{h_{g_j}}{5}, 1\right)\right) + 1$$

إذا $h_{g_j} \geq 5 \text{ m}$. وعندئذ يكون الارتفاع الفعلي للمطراف j ، (h_{ej}) على النحو التالي:

$$(b-10) \quad h_{ej} = h_{g_j} + B'_j e^{-\frac{2h_{g_j}}{\Delta h}} \quad \text{for } j = 1, 2$$

حساب مسافات الأفق القمري السلس، d_{lsj} :

$$(b-11) \quad d_{lsj} = \sqrt{2h_{ej} a_e} \quad \text{for } j = 1, 2 \text{ (m)}$$

وتكون حينها مسافة الأفق الراديوي القمري السلس المجمع، d_{ls} ، ومسافة الأفق الراديوي المجمع غير المنتظم للتضاريس الأرضية، d_l ، وزوايا ارتفاع الأفق الراديوي المجمع غير المنتظم للتضاريس الأرضية، θ_e ، هي:

$$(b-12) \quad d_{ls} = d_{ls1} + d_{ls2}$$

$$(b-13) \quad d_l = d_{l1} + d_{l2}$$

$$(b-14) \quad \theta_e = \max(\theta_{e1} + \theta_{e2}, -d_l \gamma_e)$$

و($\Delta h(s)$ ، التي هي دالة للمسافة، s) هي:

$$(b-15) \quad \Delta h(s) = \Delta h \left(1 - 0.8 e^{-\frac{s}{5 \times 10^4}}\right) \quad (m)$$

2.1.B التوهين المرجعي

التوهين المرجعي، A_{ref} ، هو التوهين المتوسط المتباين به بالنسبة إلى الفضاء الحر والذي يمكن ملاحظته على مسارات مماثلة. هي الدالة المجزأة التالية لمسافة الأفقية للمسير، d :

$$(b-16) \quad A_{ref}(d) = \begin{cases} \max\left[0, A_{el} + K_1 d + K_2 \ln\left(\frac{d}{d_{ls}}\right)\right] & \text{for } d \leq d_{ls} \\ A_{ed} + m_d d & \text{for } d > d_{ls} \end{cases} \quad (\text{dB})$$

حيث يرد تعريف A_{el} في المعادلة (b-72)، ويعرف A_{ed} في المعادلة (b-23)، وتحسب المعاملات K_1 و K_2 و m_d في الأقسام التالية. ويعرف المدى $d_{ls} \leq d$ بأنه مدى خط البصر، ويعرف المدى $d \geq d_{ls}$ بأنه مدى الانعراج. والرجاء ملاحظة أن A_{ref} يستمر عند $d = d_{ls}$.

3.1.B معاملات مدى الانعراج

تحسب معاملات مدى الانعراج بتقييم توهين الانعراج، $A_{diff}(d)$ ، عند مسافتين، d_3 و d_4 ، الخارجتين عن خط البصر. تحسب:

$$(b-17) \quad d_3 = \max(d_{ls}, d_l + 1.3787X_{ae})$$

$$(b-18) \quad d_4 = d_3 + 2.7574X_{ae}$$

$$(b-19) \quad A_3 = A_{diff}(d_3)$$

$$(b-20) \quad A_4 = A_{diff}(d_4)$$

حيث:

$$(b-21) \quad X_{ae} = (k\gamma_e^2)^{-\frac{1}{3}} = a_e \left(\frac{2\pi a_e}{\lambda} \right)^{-\frac{1}{3}}$$

وتعزف الدالة A_{diff} بالمعادلة (b-24).

والعلمتان m_d و A_{ed} هما:

$$(b-22) \quad m_d = \frac{A_4 - A_3}{d_4 - d_3} \quad (\text{dB})$$

$$(b-23) \quad A_{ed} = A_3 - m_d d_3 = \frac{A_3 d_4 - A_4 d_3}{d_4 - d_3} \quad (\text{dB})$$

4.1.B دالة توهين الانعراج

دالة توهين الانعراج، $A_{diff}(s)$ ، هي توليفة مرجحة من توهين "بحافتين كحد السكين"، $A_k(s)$ ، وتهين الانعراج "القمرى المستدير"، $A_r(s)$:

$$(b-24) \quad A_{diff}(s) = (1 - w(s))A_k(s) + w(s)A_r(s) \quad (\text{dB})$$

يُعرف في المعادلة (b-27)، ويعرف $A_r(s)$ في المعادلة (b-37)، ويعرف العامل المرجح، $w(s)$ ، على النحو التالي:

$$(b-25) \quad w(s) = \frac{1}{1 + 0.1\sqrt{Q(s)}}$$

حيث:

$$(b-26) \quad Q(s) = \min \left(\frac{\Delta h(s)}{\lambda}, 1000 \right) \left[\sqrt{\frac{h_{e_1}h_{e_2}+C}{h_{g_1}h_{g_2}+C}} + \frac{a_l+a_e\theta_e}{s} \right]$$

و $C = 0$.

ومتوسط توهين الانعراج "بحافتين كحد السكين" للأقنيين الراديويين القمريين غير المنتظمين، $A_k(s)$ ، هو:

$$(b-27) \quad A_k(s) = Fn(\nu_1(s)) + Fn(\nu_2(s)) \quad (\text{dB})$$

حيث:

$$(b-28) \quad Fn(z) = -20 \log_{10} \left(\left| \frac{1}{\sqrt{2i}} \int_z^\infty e^{i\frac{\pi}{2}u^2} du \right| \right)$$

$$= -20 \log_{10} \left(\left| \frac{1+i}{2\sqrt{2i}} \operatorname{erfc} \left(\frac{\sqrt{\pi}}{2} (1-i)z \right) \right| \right)$$

$$(b-29) \quad v_j(s) = \frac{\theta(s)}{2} \sqrt{\frac{2d_{lj}(s-d_l)}{\lambda(s-d_l+d_{lj})}} \quad \text{for } j = 1, 2$$

و:

$$(b-30) \quad \theta(s) = \theta_e + s\gamma_e$$

ويستند توهين الانعراج "القمرى المستدير" إلى طريقة "ثلاثة أنصاف قطر" المطبقة لحل مشكلة الانعراج الكروي السلس. تُحسب γ_0 و γ_1 و γ_2 على النحو التالي:

$$(b-31) \quad \gamma_0 = \frac{\theta(s)}{s-d_l}$$

$$(b-32) \quad \gamma_j = \frac{2h_{ej}}{d_{lj}^2} \quad \text{for } j = 1, 2$$

ووضع القيم:

$$(b-33) \quad \alpha_j = \left(\frac{k}{\gamma_j} \right)^{\frac{1}{3}} \quad \text{for } j = 0, 1, 2$$

و:

$$(b-34) \quad K_j = \frac{1}{i\alpha_j Z_g} \quad \text{for } j = 0, 1, 2$$

وتعريف المسافات بدون أبعاد:

$$(b-35) \quad x_0 = AB(K_0) \alpha_0 \theta(s) + x_1 + x_2$$

و:

$$(b-36) \quad x_j = AB(K_j) \alpha_j \gamma_j d_{lj} \quad \text{for } j = 1, 2$$

حيث $A = 63.798$: والرجاء ملاحظة أن x_0 لا يعتمد إلا على s . وتهين الانعراج "القمرى المستدير"، $A_r(s)$ ، هو:

$$(b-37) \quad A_r(s) = G(x_0) - F(x_1, K_1) - F(x_2, K_2) - C_1(K_0) \quad (\text{dB})$$

حيث تعرّف الدلالات $G(x)$ و $F(x, K)$ و $C_1(K)$ في الفقرة 2.B.

5.1.B معاملات مدى خط البصر

ووضع القيم:

$$(b-38) \quad d_2 = d_{ls}$$

و:

$$(b-39) \quad A_2 = A_{ed} + m_d d_2 \quad (\text{dB})$$

وهناك حالتان عامتان، تبعاً للعلامة A_{ed} .

الحالة 1: إذا كانت $A_{ed} \geq 0$, وضع القيم:

$$(b-40) \quad d_0 = \min \left(\frac{d_l}{2}, 1.908 k h_{e1} h_{e2} \right)$$

$$(b-41) \quad d_1 = \frac{3}{4} d_0 + \frac{d_l}{4}$$

(b-42) $A_0 = A_{los}(d_0)$ (dB)

(b-43) $A_1 = A_{los}(d_1)$ (dB)

تحسب:

(b-44) $K'_2 = \max \left(0, \frac{(A_1 - A_0)(d_2 - d_0) - (A_2 - A_0)(d_1 - d_0)}{(d_2 - d_0) \ln\left(\frac{d_1}{d_0}\right) - (d_1 - d_0) \ln\left(\frac{d_2}{d_0}\right)} \right)$

و:

(b-45) $K'_1 = \frac{A_2 - A_0 - K'_2 \ln\left(\frac{d_2}{d_0}\right)}{d_2 - d_0}$

وإذا كانت $K'_1 \geq 0$, توضع القيم:

(b-46) $K_1 = K'_1$

(b-47) $K_2 = K'_2$

ومع ذلك، إذا كانت $K'_1 < 0$, توضع القيم:

(b-48) $K''_2 = \frac{A_2 - A_0}{\ln\left(\frac{d_2}{d_0}\right)}$

وإذا كانت $K''_2 \geq 0$, توضع القيم:

(b-49) $K_1 = 0$

(b-50) $K_2 = K''_2$

ومع ذلك، إذا كانت $K''_2 < 0$, توضع القيم:

(b-51) $K_1 = m_d$

(b-52) $K_2 = 0$

الحالة 2: إذا كانت $A_{ed} < 0$, توضع القيم:

(b-53) $d_0 = 1.908 k h_{e1} h_{e2}$

(b-54) $d_1 = \max \left(-\frac{A_{ed}}{m_d}, \frac{d_l}{4} \right)$

وإذا كانت $d_1 < d_0$, توضع القيم:

(b-55) $A_0 = A_{los}(d_0)$ (dB)

(b-56) $A_1 = A_{los}(d_1)$ (dB)

و:

(b-57) $K'_2 = \max \left(0, \frac{(A_1 - A_0)(d_2 - d_0) - (A_2 - A_0)(d_1 - d_0)}{(d_2 - d_0) \ln\left(\frac{d_1}{d_0}\right) - (d_1 - d_0) \ln\left(\frac{d_2}{d_0}\right)} \right)$

وإذا كانت $K'_2 \neq 0$, تحسب:

(b-58) $K'_1 = \frac{A_2 - A_0 - K'_2 \ln\left(\frac{d_2}{d_0}\right)}{d_2 - d_0}$

وإذا كانت $K'_1 \geq 0$, توضع القيم:

(b-59) $K_1 = K'_1$

(b-60) $K_2 = K'_2$

وإذا كانت $K'_1 < 0$ ، تُوضع القيم:

$$(b-61) \quad K''_2 = \frac{A_2 - A_0}{\ln\left(\frac{d_2}{d_0}\right)}$$

وإذا كانت $K''_2 \geq 0$ ، فإن:

$$(b-62) \quad K_1 = 0$$

$$(b-63) \quad K_2 = K''_2$$

وإذا كانت $K''_2 < 0$ ، فإن:

$$(b-64) \quad K_1 = m_d$$

$$(b-65) \quad K_2 = 0$$

وإذا كانت $K'_1 = 0$ أو $d_0 \geq d_1$ ، فإن:

$$(b-66) \quad A_1 = A_{los}(d_1) \quad (\text{dB})$$

$$(b-67) \quad K''_1 = \frac{A_2 - A_1}{d_2 - d_1}$$

وإذا كانت $K''_1 > 0$ ، فإن:

$$(b-68) \quad K_1 = K''_1$$

$$(b-69) \quad K_2 = 0$$

وخلال ذلك، تُوضع القيم:

$$(b-70) \quad K_1 = m_d$$

$$(b-71) \quad K_2 = 0$$

وأخيرًا، تُوضع القيم:

$$(b-72) \quad A_{el} = A_2 - K_1 d_2 \quad (\text{dB})$$

6.1.B دالة توهين مدى خط البصر

دالة التوهين في مدى خط البصر، $A_{los}(s)$ ، هي التوليفة المرجحة لتوهين "مدى الانتعاج المستكمل خارجيًا/الموسع"، $A_d(s)$ ، والتهين ذي "الشعاعين"، $A_t(s)$:

$$(b-73) \quad A_{los}(s) = (1 - w)A_d(s) + wA_t(s) \quad (\text{dB})$$

$A_d(s)$ يُعرف في المعادلة (b-75)، ويعرف في المعادلة (b-82)، ويُعرف العامل المرجح، w ، على النحو التالي:

$$(b-74) \quad w = \frac{1}{1 + \frac{D_1 k \Delta h}{\max(D_2, d_{ls})}}$$

حيث $D_2 = 10 \text{ km}$ و $D_1 = 47.7 \text{ m}$. ويكون توهين "مدى الانتعاج الموسع" على النحو التالي:

$$(b-75) \quad A_d(s) = A_{ed} + m_d s$$

وبالنسبة للتوهين ذي "الشعاعين"، تُوضع القيم:

$$(b-76) \quad \sin \psi(s) = \frac{h_{e_1} + h_{e_2}}{\sqrt{s^2 + (h_{e_1} + h_{e_2})^2}}$$

و:

$$(b-77) \quad R'_e(s) = \frac{\sin \psi(s) - Z_g}{\sin \psi(s) + Z_g} e^{-k \sigma_h(s) \sin \psi(s)}$$

حيث:

$$(b-78) \quad \sigma_h(s) = \frac{\Delta h(s)}{1.282} e^{-\frac{4\sqrt{\Delta h(s)}}{2}}$$

وتوضع القيم:

$$(b-79) \quad \delta'(s) = 2 \frac{k h_{e_1} h_{e_2}}{s}$$

ومعامل الانعكاس الفعال، $(R_e(s))$ ، هو:

$$(b-80) \quad R_e(s) = \begin{cases} R'_e(s) & \text{for } |R'_e(s)| \geq \max(0.5, \sqrt{\sin \psi(s)}) \\ \frac{R'_e(s)}{|R'_e(s)|} \sqrt{\sin \psi(s)} & \text{otherwise} \end{cases}$$

والاختلاف في الطور، $(\delta(s))$ ، هو:

$$(b-81) \quad \delta(s) = \begin{cases} \delta'(s) & \text{for } \delta'(s) \leq \frac{\pi}{2} \\ \pi - \frac{(\frac{\pi}{2})^2}{\delta'(s)} & \text{otherwise} \end{cases}$$

ويكون التوهين ذو "الشعاعين"، $(A_t(s))$ ، عندئذ:

$$(b-82) \quad A_t(s) = -20 \log_{10} |1 + R_e(s) e^{i\delta(s)}| \quad (\text{dB})$$

7.1.B التغير في الموقع

$A_{ref}(p)$ ، يُحسب التوهين بالنسبة إلى الفضاء الحر الذي لا يتخطى الجزء من المنطقة المعنية ($1 < p < 0$) على النحو التالي: وتحسب (d) و σ و z على النحو التالي، حيث d هو طول المسير الكامل:

$$(b-83) \quad \Delta h(d) = \Delta h \left(1 - 0.8 e^{-\frac{d}{5 \times 10^4}} \right)$$

$$(b-84) \quad \sigma = 10 k \frac{\Delta h(d)}{k \Delta h(d) + 13}$$

$$(b-85) \quad z = Q^{-1}(p)$$

حيث d هو طول المسير الكامل.

وبالتالي:

$$(b-86) \quad A_{ref}(p) = A_{ref} + \sigma z \quad (\text{dB})$$

الدالات $B(K)$ و $C_1(K)$ و $F(x, K)$ و $G(x)$ 2.B

$$(b-87) \quad F(x, K) = \begin{cases} F_2(x, K), & \text{for } 0 < x \leq 200 \\ G(x) + 0.013 x e^{-\frac{x}{200}} [F_1(x) - G(x)], & \text{for } 200 < x < 2000 \\ G(x), & \text{for } x \geq 2000 \end{cases}$$

حيث:

$$(b-88) \quad G(x) = 0.05751 x - 10 \log_{10} x$$

$$(b-89) \quad F_1(x) = 40 \log_{10} (\max(x, 1)) - 117$$

$$(b-90) \quad F_2(x, K) = \begin{cases} F_1(x) & \text{for } |K| < 10^{-5} \text{ or } x (-\log_{10} |K|)^3 > 450 \\ 2.5 x \frac{10^{-5} x^2}{|K|} + 20 \log_{10} (|K|) - 15 & \text{otherwise} \end{cases}$$

(b-91)

$$C_1(K) = 20$$

(b-92)

$$B(K) = 1.607 - |K|$$

الجزء C

الخصائص الكهربائية لسطح القمر

1.C السماحية النسبية المعقدة للحطام الصخري

1.1.C مدخلات السماحية النسبية المعقدة للحطام الصخري

تطلب السماحية النسبية المعقدة للحطام الصخري المعلمات التالية:

— عمق الحطام الصخري

— محتوى الحطام الصخري في معادن ثانوي أكسيد التيتانيوم (TiO_2) وأكسيد الحديد (FeO)

— الكثافة الظاهرية للحطام الصخري (الثقل المعين، المسامية، نسبة الفراغ)

— درجة حرارة الحطام الصخري

— التردد الراديوي (Radio frequency)

2.1.C عمق الحطام الصخري

يُحسب عمق الحطام الصخري، d ، على النحو التالي:

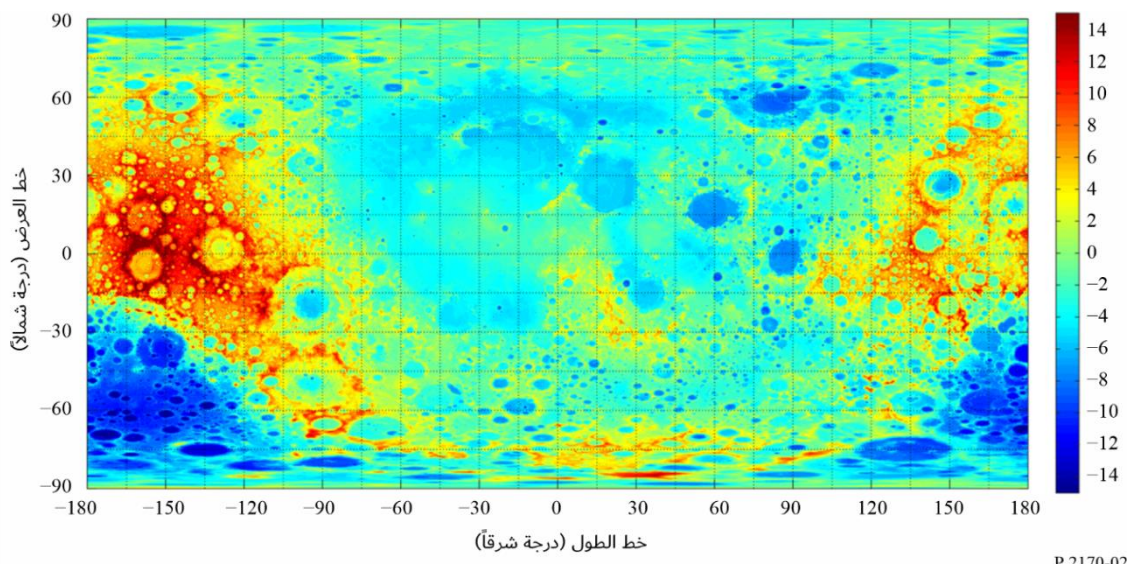
$$(c-1) \quad d = 9.5 + 8.5 \tanh\left(\frac{H+1200}{1632.5}\right) \quad (\text{m})$$

حيث، H ، هو الارتفاع بالأمتار. ويظهر الارتفاع الرقمي لسطح القمر في الشكل 2 بوصفه مرجعاً. خرائط رقمية لارتفاع القمر بإسقاطات واستبيانات مختلفة. والأنساق متاحة من https://imbrium.mit.edu/DATA/LOLA_GDR/

ويُعرف خط العرض والطول للقمر في نظام الإحداثيات السيلينوغرافية لمتوسط الأرض/المحور القطبي (ME). والمحور القمري Z هو متوسط محور دوران القمر، ويشير المحور Z+ نحو القطب الشمالي القمري؛ وخط الاستواء القمري، الذي يحدد المستوى XY، يتعامد مع المحور Z وينقاطع مع المحور Z عند مركز كتلة القمر؛ وخط الزوال الرئيسي للقمر، المحدد بالمحور X، يشير إلى اتجاه الأرض المتوسط على النحو المرئي من القمر (أي النقطة المتوسطة مسقط الأرض على سطح القمر)؛ ويكمل المحور Y نظام الإحداثيات المليمان.

الشكل 2

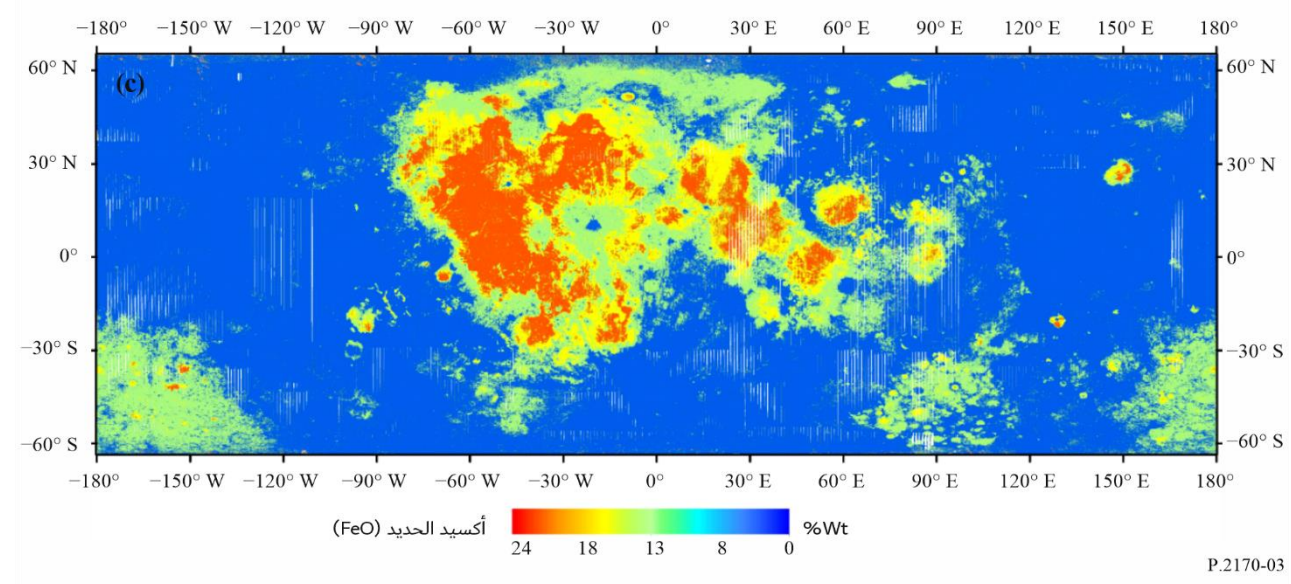
خريطة ارتفاع سطح القمر (km)



3.1.C المحتوى المعدني

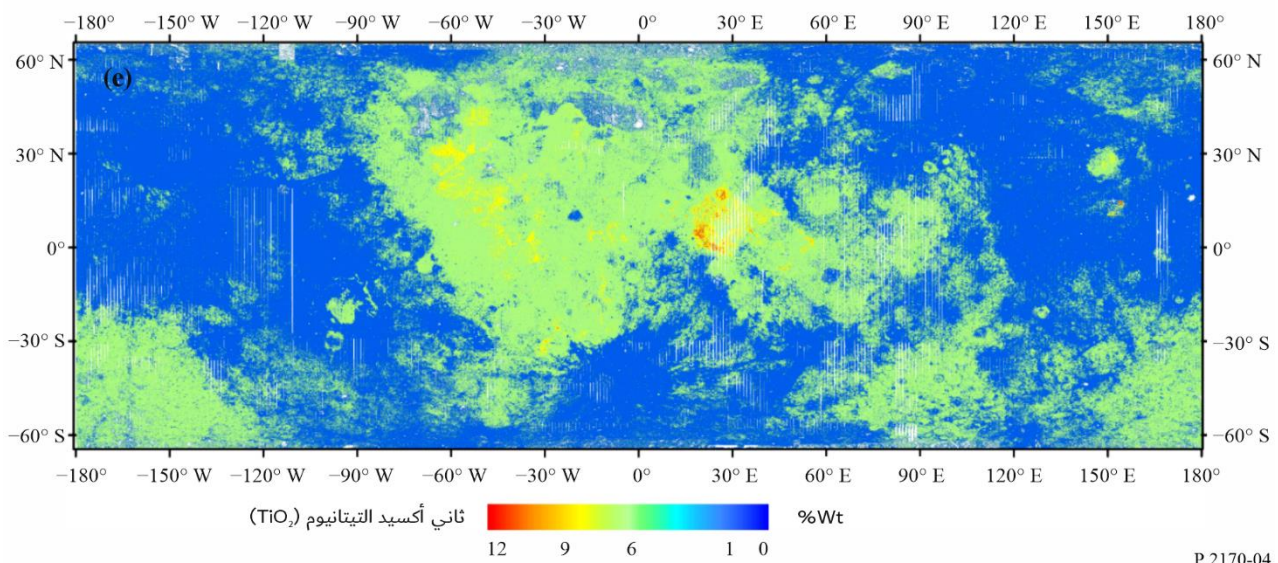
سماحية الحطام الصخري القمري هي دالة للنسب المئوية لثاني أكسيد التيتانيوم (TiO_2) وأكسيد الحديد (FeO). وكما في الشكلين 3 و 4 النسب المئوية القمرية لأكسيد الحديد (FeO) وثاني أكسيد التيتانيوم (TiO_2) بين 60° شمالاً و 60° جنوباً. وتتوفر خرائط الاستبيان العالية لكل من أكسيد الحديد (FeO) وثاني أكسيد التيتانيوم (TiO_2) في <https://zenodo.org/records/7263426> و <https://zenodo.org/records/7264329> على التوالي.

الشكل 3

خريطة محتوى أكسيد الحديد (FeO) القمري بين خططي العرض 60° شمالاً و 60° جنوباً

الشكل 4

خرائط محتوى ثاني أكسيد التيتانيوم (TiO_2) القمرى بين خطى العرض 60° شمالاً و 60° جنوباً



4.1.C الكثافة الإجمالية

الكثافة الإجمالية، ρ ، مادة ما هي كتلة المادة الموجودة في حجم معين، ويُعبّر عنها عادة بالغرام في السنتيمتر المكعب (g/cm^3). والمسامية والجاذبية النوعية لها معلمتان أخرىان مرتبتان بالكثافة الإجمالية. وتُعرّف المسامية، ϕ ، على أنها حجم المساحة الفارغة بين الجزيئات مقسومة على الحجم الكلي. والجاذبية النوعية، G ، لجزيء تربة هو نسبة كتلتها إلى كتلة حجم متساوٍ من المياه تبلغ حراراته 4 درجات مئوية. وتبلغ الجاذبية النوعية لكمية كبيرة من التربة القمرية 2,7؛ أي تبلغ كثافة الجزيئات الفردية $2,7 g/cm^3$ أو 2,7 مرة كثافة المياه ρ_w ($1 g/cm^3$). كسر الحجم، V ، هو نسبة حجم جزيئات التربة على الحجم الكلي. وتتراءط الكثافة الإجمالية والمسامية والجاذبية النوعية وكسر الحجم على النحو التالي:

$$(c-2) \quad \rho_{reg} = G \rho_w (1 - \phi)$$

$$(c-3) \quad V = 1 - \phi$$

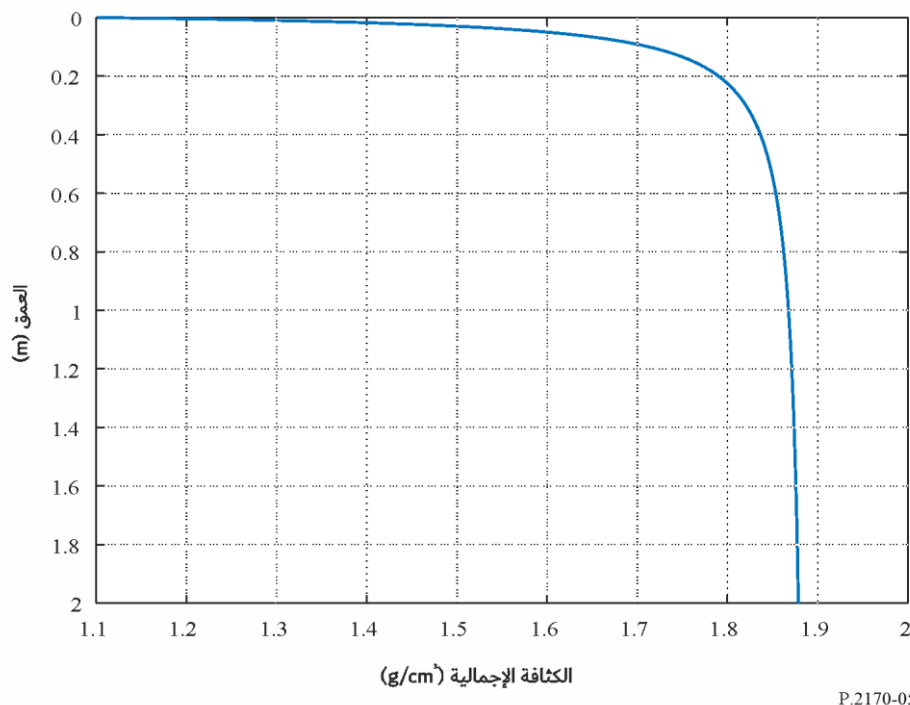
وتحتله الكثافة الإجمالية للحظام الصخري، $\rho_{reg}(z)$ ، بتغير عمق الحظام الصخري، z (m) على النحو التالي:

$$(c-4) \quad \rho_{reg}(z) = 1.890 \frac{0.0169-z}{0.0290-z}, \quad \frac{g}{cm^3}$$

حيث لا تظهر علامة ناقص على محور العمق. ويبين الشكل 5 اتجاه الكثافة الإجمالية مقابل عمق الحظام الصخري.

الشكل 5

اتجاه الكثافة الإجمالية مقابل عمق الحطام الصخري



5.1.C درجة الحرارة

تحتلت درجة حرارة الحطام الصخري القمري باختلاف خط العرض والطول للقمر والتوقيت القمري. غير أن السماحية النسبية المعقدة للحطام الصخري القمري مستقلة عن درجة الحرارة عند الترددات بين 1 MHz و 37 GHz.

6.1.C السماحية النسبية المعقدة للحطام الصخري عند الترددات بين 1 MHz و 37 GHz

عند الترددات ما بين 1 MHz و 37 GHz، تكون السماحية النسبية المعقدة للحطام الصخري، ϵ_{reg} ، على النحو التالي:

$$(c-5) \quad \epsilon_{reg} = \epsilon'_{reg} - i \epsilon''_{reg} = \epsilon'_{reg} - i \epsilon'_{reg} \tan \delta$$

الجزء الحقيقي من السماحية النسبية المعقدة للحطام الصخري، ϵ'_{reg} ، هو دالة للكثافة الإجمالية، وهو مستقل عن التردد ودرجة الحرارة:

$$(c-6) \quad \epsilon'_{reg} = 1.919^{\rho_{reg}}$$

وظل الخسارة، $\tan \delta_{reg}$ ، هو دالة للتردد (GHz) والكثافة الإجمالية والنسبة المئوية لثاني أكسيد التيتانيوم (TiO_2) و FeO :

$$(c-7) \quad \tan \delta_{reg} = 10^{\{(a_1 f_{GHz} + a_2) \rho_{reg} + b_1 S - b_2\}}$$

حيث المعاملات a_1 و a_2 و b_1 و b_2 وهي على النحو التالي:

$$GHz^{-1} \quad a_1 = 0.0272$$

$$a_2 = 0.2967$$

$$b_1 = 0.027$$

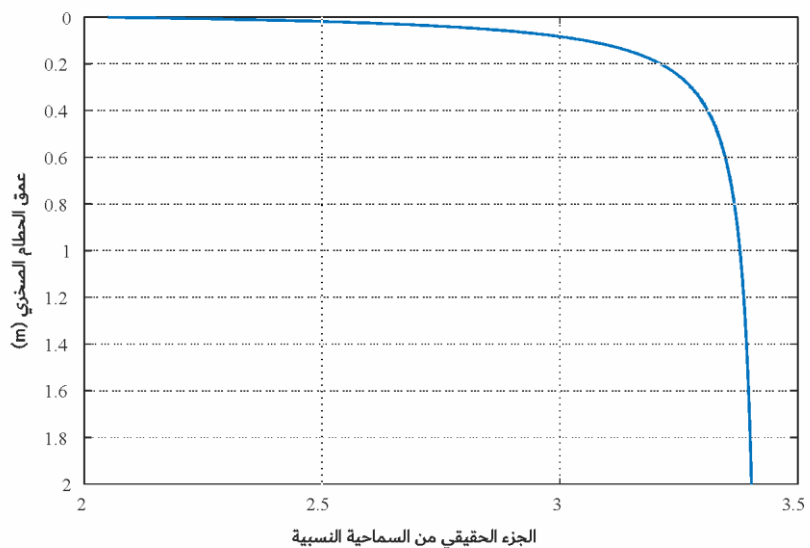
$$b_2 = 3.058$$

$$S = \%TiO_2 + \%FeO$$

ويمان الكثافة، ρ ، هي دالة لسمك الحطام الصخري (انظر المعادلة (c-1))، فإن السماحية النسبية المعقدة للحطام الصخري هي أيضاً دالة في عمق الحطام الصخري. وبين الشكلان 6 و 7 أمثلة على الجزء الحقيقي من السماحية النسبية المعقدة وظل الخسارة مقابل عمق الحطام الصخري لحتويات TiO_2 و FeO بنسبة 4% و 15% على التوالي، وسمك نمطي للحطام الصخري يبلغ 2 m.

الشكل 6

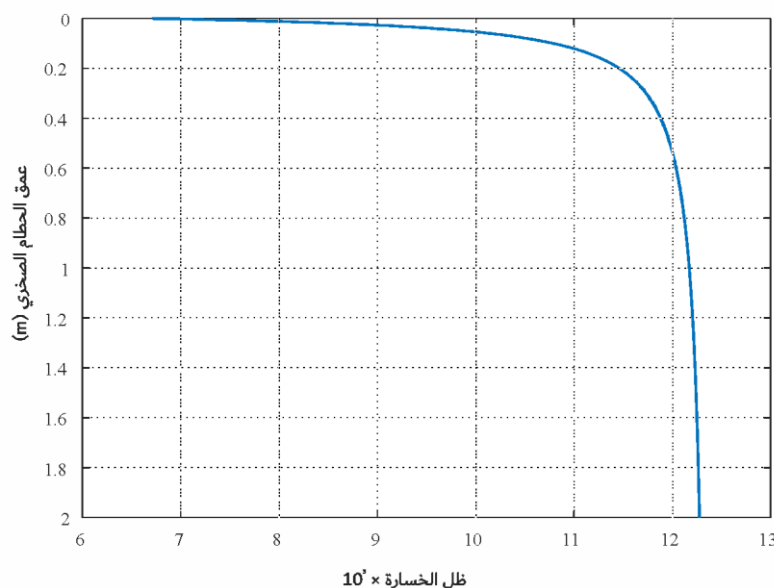
الجزء الحقيقي من سماحية الحطام الصخري للتترددات فوق 1 MHz بوصفه دالة لعمق الحطام الصخري ($d = 2 \text{ m}$)



P.2170-06

الشكل 7

ظل خسارة الحطام الصخري عند 1.5 GHz مقابل عمق الحطام الصخري
(أكسيد التيتانيوم (TiO_2) = 4% وأكسيد الحديد (FeO) = 15%)



P.2170-07

2.C السماحية النسبية المعقدة لصخر القمر

على غرار السماحية النسبية المعقدة للحطام الصخري، فإن السماحية النسبية المعقدة لصخر القمر ϵ_{rock} :

$$(c-8) \quad \epsilon_{rock} = \epsilon'_{rock} - i \epsilon'_{rock} \tan \delta_{rock}$$

وعلى غرار السماحية النسبية المعقدة للحطام الصخري، فإن الجزء الحقيقي للسماحية النسبية المعقدة لصخر القمر هي:

$$(c-9) \quad \epsilon'_{rock} = 1.919 \rho_{rock}$$

وعلى الرغم من عدم وجود نموذج تجريبي أو نظري حالي لكتافة الصخور القمرية، غالباً ما تتراوح كثافات الصخور بين 2 و 3.3 g cm^{-3} ، وفي هذه الحالة، ϵ'_{rock} تتراوح بين 3,6826 و 8,5931.

وظل الخسارة، $\tan \delta_{rock}$ ، هو دالة للتعدد (GHz)، والكتافة الإجمالية، والنسبتين المثويتين لثاني أكسيد التيتانيوم (TiO_2) وأكسيد الحديد (FeO)، وتوصيلية التيار المستمر، σ_{rock} ، والجزء الحقيقي من السماحية النسبية المعقدة لصخر القمر على النحو التالي:

$$(c-10) \quad \tan \rho_{rock} = 10^{\{(a_1 f_{\text{GHz}} + a_2) \rho_{rock} + b_1 S - b_2\}} + \frac{17.984 \sigma_{rock}}{\epsilon'_{rock} f_{\text{GHz}}}$$

حيث:

$$(c-11) \quad \sigma_{rock} = 3 \times 10^{-14} e^{0.0230T}, \frac{\text{mho}}{\text{m}}$$

والمعاملات a_1 و a_2 و b_1 و b_2 و c وهي على النحو التالي:

$$\text{GHz}^{-1} \quad a_1 = 0.0086$$

$$a_2 = 0.1833$$

$$b_1 = 0.038$$

$$b_2 = 3.26$$

$$S = 11\%$$

3.C النفاذية النسبية المعقدة لصخر القمر

المزان الحقيقي والتخليلي من النفاذية المغنتيسية للحطام الصخري القمري عند ترددات فوق 300 MHz هما:

$$(c-12) \quad \mu'_r = 1$$

$$(c-13) \quad \mu''_r = 0$$

4.C السماحية النسبية المعقدة للحطام الصخري وخليط الصخور

عندما يكون هناك خليط من الصخور والحطام الصخري، عن طريق معالجة الجزيئات الصخرية على أنها جزيئات كروية، تكون السماحية النسبية المعقدة المكافحة لل الخليط، $\epsilon_{mixture}$ ، هي:

$$(c-14) \quad \epsilon_{mixture} = \frac{-B + \sqrt{B^2 - 4AC}}{2A}$$

حيث:

$$(c-15) \quad A = 2$$

$$(c-16) \quad B = -2(1 - V_{rock})\epsilon_{reg} + (1 - 3V_{rock})\epsilon_{rock}$$

$$(c-17) \quad C = -\epsilon_{reg}\epsilon_{rock}$$

و V_{rock} هو كسر حجم الصخور. وفي غياب البيانات المحلية، يمكن افتراض أن $V_{rock} = 0$. وفي هذه الحالة يكون $\epsilon_{reg} = \epsilon_{mixed}$.

D الجزء

التبنؤ بخسائر الانتشار الأخرى

1.D خسارة الانتشار في الفضاء الحر

يُوصى باستخدام خسارة الانتشار في الفضاء الحر المحددة في الفقرة 3.2 من التوصية ITU-R P.525 بين: أ) أنظمة على سطح القمر أو بالقرب منه وأنظمة في مدار حول القمر، ب) أنظمة على سطح القمر أو بالقرب منه وأنظمة تدور حول الأرض، ج) نظام في مدار حول القمر وأنظمة تدور حول الأرض، حيث يكون مسیر خط البصر خاليًا من العوائق ولا توجد انعكاسات.

2.D خسارة الانتشار في ضوء الغلاف الجوي للأرض

خسارة الانتشار بين أ) أنظمة على سطح القمر أو بالقرب منه أو في مدار حول القمر، ب) أنظمة على سطح الأرض أو في مدار حول الأرض، حيث يكون مسیر خط البصر خاليًا من العوائق ولا توجد فيه انعكاسات، ينبغي حسابها على أنها مجموع أ) خسارة الانتشار في الفضاء الحر المحددة في الفقرة 2.3 من التوصية ITU-R P.525، ب) الخسائر السائدة في الغلاف الجوي والمحددة في الفقرة 2 من التوصية ITU-R P.618.
